The

Нгуен Ань Ту

АЛГОРИТМИЧЕСКОЕ ОБЕСПЕЧЕНИЕ НЕЙРОННОЙ СЕТИ С ПОЛИНОМИ-АЛЬНЫМИ КУСОЧНО-НЕПРЕРЫВНЫМИ ФУНКЦИЯМИ АКТИВАЦИИ ДЛЯ ОБНАРУЖЕНИЯ ЗАКОНОМЕРНОСТЕЙ В ДАННЫХ

Специальность: 05.13.01 – Системный анализ, управление и обработка информации (научные исследования)

ΑΒΤΟΡΕΦΕΡΑΤ

диссертации на соискание ученой степени кандидата технических наук

Работа выполнена в федеральном государственном автономном образовательном учреждении высшего образования «Национальный исследовательский Томский политехнический университет» (ФГАОУ ВО НИ ТПУ) и в федеральном государственном бюджетном образовательном учреждении высшего образования «Томский государственный университет систем управления и радиоэлектроники» (ФГБОУ ВО «ТУСУР»)

Научный руководитель: до

доктор технических наук, профессор

Кориков Анатолий Михайлович

Официальные оппоненты:

Кошкин Геннадий Михайлович, доктор физикоматематических наук, профессор, ФГАОУ ВО «Национальный исследовательский Томский государственный университет» (г. Томск), профессор кафедры системного анализа и математического моделирования

Лемешко Борис Юрьевич, доктор технических наук, профессор, ФГБОУ ВО «Новосибирский государственный технический университет» (г. Новосибирск), главный научный сотрудник, профессор кафедры теоретической и прикладной информатики

Защита состоится «18» декабря 2019 г. в 15.00 часов на заседании диссертационного совета ДС.ТПУ.15 при ФГАОУ ВО «Национальный исследовательский Томский политехнический университет» по адресу: 634034, г. Томск, ул. Советская 84/3, ауд. 214.

С диссертацией можно ознакомиться в научно-технической библиотеке ФГАОУ ВО НИ ТПУ по адресу: г. Томск, ул. Белинского, 53a и на сайте: dis.tpu.ru

Автореферат разослан « » _____ 2019 г.

Ученый секретарь диссертационного совета Пак Александр Яковлевич

ОБЩАЯ ХАРАКТЕРИСТИКА РАБОТЫ

Актуальность темы исследования. Методы и технологии искусственного интеллекта используются для решения многих практических задач: автоматизации и роботизации технологических процессов и производств, проектирование информационно-вычислительных систем, телекоммуникационных и компьютерных сетей и т.д. Искусственные нейронные сети и технологии, базирующиеся на них, занимают лидирующие позиции среди методов и технологий искусственного интеллекта. В естественных и технических науках задачи делятся на формализуемые и неформализуемые. С развитием науки и техники количество неформализуемых задач постоянно растет. К числу неформализуемых задач относятся и задачи обнаружения скрытых закономерностей в наборах данных. Для их решения развиваются специальные приемы и методы, обобщенные в теории систем и системном анализе, создаются экспертные системы – интеллектуальные системы, основанные на знаниях. Роль методов искусственного интеллекта, теории нейронных сетей и нейросетевых технологий в реализации методик системного анализа и разработке интеллектуальных систем трудно переоценить. Решение неформализуемых задач осложняется различными видами НЕ-факторов знаний: неопределенность, нечеткость, неточность, недоопределенность и неполнота знаний эксперта о свойствах проблемной области. Таким образом, задача обнаружения скрытых закономерностей в наборах данных на основе нейросетевых технологий является актуальной в научном аспекте и практически значимой.

Степень научной разработанности проблемы. Для повышения эффективности систем обработки информации и снижения вычислительных затрата, в теории нейронных сетей и нейросетевых технологий разрабатываются новые функции активации. Большая работа в этом направлении проведена такими авторами, как Билски Дж., Вонг К.В., Леунг К.С., Нага К., Накауама К., и др. Билски Дж. предложил новую логарифмическую функцию активации (ФА). Сравнение логарифмической ФА и ФА, основанных на экспонентах, сделано Азизом С.М., Камруззаманом Дж. Авторы исследуют скорость обучения и скорость сходимости по проблеме распознавания символов и классической проблеме классификации XOR, предлагая использовать обратную функцию тангенса как ФА. Пиккневский Ф., Рыбицкий Л. предложили две ФА, одна из которых основана на интеграции треугольной функции, а другая - на разнице между двумя сигмоидами (лог-экспоненциальная), и сравнивается с помощью метода барицентрического построения, который проецирует возможности отображения сети в гиперразмерный куб. Исследование показало, что лог-экспоненциальная функция медленно ускорялась, но она была эффективной в многослойном перцептроне с обучением методом обратного распространения. Гуарнери С., Камполуччи П., Каппарелли Ф., Пьяцца Ф., Унчини А. используют в качестве ФА кусочную интерполяцию на основе кубических сплайнов, обеспечивающую характеристики, сравнимые с сигмоидальной функцией, с уменьшенными вычислительными затратами. Ма Л., Хорасани К. предложили ФА но основе ортонормированнымх полиномов Эрмита. Авторы доказывают, что такая сеть демонстрирует отличные характеристики по сравнению с аналогичными нейронными сетями с сигмовидными ФА. Вонг К. В., Леунг С. С., Чанег С. исследовали обучение нейронных сетей с помощью алгоритма расширенного фильтра Калмана. Сеть протестирована на классические сигмоидальные и синусоидальные ФА, распознавание рукописного ввода, прогнозирование временных рядов, создание четности и отображение ХОR. Они доказывают, что предложенная периодическая функция превосходит классические ФА с точки зрения конвергенции обучения. Накаямма К., Хара К., предлагают комбинацию сигмоидальной, синусоидальной и гауссовской ФА, чтобы использовать их независимые свойства деления пространства признаков. Авторы сравнивают гибридную структуру в задаче классификации многочастотных сигналов, делая вывод, что комбинация трех функции активации работает эффективнее, чем сигмоидальная (по скорости сходимости) и гауссовская (по шумоподавлению) и синусоидальная функция активации, даже если каждая из них обеспечивает достижение лучших результатов по отмеченным выше критериям.

Объединение нейронных сетей с функциями принадлежности (ФП) из теории нечетких систем нашло применение для решения задач прогнозирования и классификации состояний объектов. Гомес-Чова Л., Кэмпс-Вальс Г., Кальпе-Маравилья Ж., Мартин-Герреро Ж.Д., Сория-Оливас Э., Серрано-Лопес А. определяют передачу гиперболического тангенса с помощью трех различных ФП, фактически определяя классическую ФА с помощью нечеткой логики. Основным преимуществом на этапе обучения является низкая вычислительная стоимость, обеспечиваемая тем, что обновление веса не всегда необходимо. Применение нейронных сетей с нечеткими ФА можно найти в работе Субаси А. Автор использует нейронные сети для обнаружения эпилептического припадка, обработки и классификации электроэнцефалографии сигналов. Вон И., Хунь Х.Т. предлагают метод аналитического обучения, отмеченный как экстремальное машинное обучение, для нейронных сетей с нечеткими ФА. Авторы тестируют методику по проблемам медицинской диагностики, классификации изображений и анализа спутниковых изображений. Ярушкиной Н.Г. представлена генетическая нейро-нечеткая система, которая построена на основе многослойной архитектуры с использованием И-, ИЛИ-нейронов и принципом «конкуренции и кооперации». В работе Ярушкиной Н.Г. отметим совместное применение генетических алгоритмов и нейронных сетей - это настройка ФП нечетких и нейро-нечетких систем.

Таким образом, существует обширное научное поле, в котором рассматриваются проблемы разработки ΦA в теории нейронных сетей и $\Phi \Pi$, изучаемые в теории нечетких систем, на основе которых можно создать новые нейронные сети с нечеткими ΦA для решения задач обнаружения закономерностей в наборах данных.

Объектом исследования являются нейронные сети нового типа с функциями активации, базирующимися на функциях принадлежности теории нечетких систем.

Предметом исследования является моделирование и применение новых нейронных сетей для решения типовых задач обнаружения закономерностей в наборах данных: прогнозирование временных рядов, определение амплитуды детерминированного сигнала на фоне белого шума, классификация интенсивности марковского случайного потока событий и классификация объектов и их состояний.

Целью работы является разработка и исследовании нейронных сетей нового ти-

па с полиномиальными кусочно-непрерывными функциями активации для обнаружения закономерностей в наборах данных, алгоритмов обучения и программных средств создания нечетких нейронных сетей для решения типовых задач обнаружения закономерностей в наборах данных.

Задачи исследования. Для достижения намеченной цели решены следующие задачи:

- 1. Анализ существующих полиномиальных кусочно-непрерывных $\Phi\Pi$ в теории нечетких систем с целью их использования в качестве ΦA нечетких нейронных сетей.
- 2. Разработка тестовых наборов данных для типовых задач обнаружения закономерностей в данных.
- 3. Построение моделей нечетких нейронных сетей для тестовых задач обнаружения закономерностей в данных:
 - прогнозирование временных рядов со стохастическим трендом;
- определение параметров детерминированного сигнала на фоне белого шума;
 - классификация интенсивности марковского случайного потока событий;
 - классификация объектов и их состояний.
- 4. Разработка алгоритмов обучения нечетких нейронных сетей для выше перечисленных тестовых задач обнаружения закономерностей в данных.
- 5. Математическое моделирование нечетких нейронных сетей для выше перечисленных тестовых задач обнаружения закономерностей в данных.

Научная новизна работы заключается в следующем:

- 1. Разработаны новые функции активации для нейронных сетей, которые основаны на функциях принадлежности теории нечетких систем и теории надежности, и на их базе разработаны новые нейронные сети.
- 2. Модифицированы алгоритмы обучения нейронных сетей для типовых задач обнаружения закономерностей в наборах данных. Усовершенствованы метод Левенберга Марквардта, алгоритм кластеризации К средних, вычисление весов выходного слоя нечетких нейронных сетей с использованием псевдообратного метода, алгоритм масштабированного сопряженного градиента.
- 3. Созданы модели новых нейронных сетей для типовых задач обнаружения закономерностей в наборах данных: прогнозирование временных рядов, определение амплитуды детерминированного сигнала на фоне белого шума, классификация интенсивности марковского случайного потока событий и классификация объектов и их состояний.

Теоретическая значимость и практическая значимость работы. Предложенные в работе модели и алгоритмы могут быть применены для создания программного обеспечения нечеткого нейросетевого классификатора (ННК) для повышения эффективности задачи прогнозирования временных рядов, определения амплитуды детерминированного сигнала на фоне белого шума, определения трафика в телекоммуникаци-

онных и компьютерных сетях как интенсивности марковского случайного потока событий и классификации объектов и их состояний.

Методы исследования основаны на теории нечетких систем, теории принятия решений, нейроинформатике, методах обучения нейронных сетей, цифровой обработки сигналов.

Научные положения, выносимые на защиту:

1. Новые функция активации нейронных сетей, основанные на функциях принадлежности LR-типа в теории нечетких систем и теории надежности, на базе этих функций разработаны новые нейронные сети.

Соответствует пункту 1 паспорта специальности 05.13.01: Теоретические основы и методы системного анализа, оптимизации, управления, принятия решений и обработки информации.

2. Модификация алгоритмов обучения нейронных сетей для типовых задач обнаружения закономерностей в наборах данных для повышения эффективности систем обработки информации.

Соответствует пункту 7 паспорта специальности 05.13.01: Методы и алгоритмы структурно-параметрического синтеза и идентификации сложных систем.

3. Модели новых нейронных сетей для типовых задач обнаружения закономерностей в наборах данных: прогнозирование временных рядов, определение амплитуды детерминированного сигнала на фоне белого шума, классификация интенсивности марковского случайного потока событий и классификация объектов и их состояний.

Соответствует пункту 11 паспорта специальности 05.13.01: Методы и алгоритмы прогнозирования и оценки эффективности, качества и надежности сложных систем.

Апробация результаты исследования. Основные положения диссертационной работы докладывались на Международной научно-практической конференции «Электронные средства и системы управления», г. Томск, 2016, 2017 гг.; Международной научно-практической конференции студентов, аспирантов и молодых учёных «Молодёжь и современные информационные технологии», г. Томск, 2016, 2017 гг.; Международной научной конференции «Информационные технологии в науке, управлении, социальной сфере и медицине », г. Томск, 2017 г.; The 22nd National Scientific Conference for Fluid Mechanics, Hai Phong, Viet Nam, 2019; The International Symposium оп Applied Science (ISAS), Но Chi Minh city, Viet Nam, 2019; Научных семинарах кафедры АСУ ТУСУР в 2015 – 2019 гг.

Основные результаты диссертационного исследования также апробированы в ходе практической деятельности автора и внедрены в 2-х компаниях (Midas Core Pte LTD, Singapore; Center of Education and Technology Transfer VIET4C, Viet Nam) и в учебный процесс в 1 образовательном учреждении (Кафедра АСУ ТУСУР).

Публикации по теме работы. По материалам диссертации опубликовано 12 работ, в том числе 5 публикаций в изданиях, включенных в перечень ведущих рецензируемых

научных журналов и изданий, рекомендованных ВАК Российской Федерации; 1 публикация в WoS, 2 публикации в Scopus.

Структура и объём работы. Диссертация состоит из введения, 4 глав, заключения, списка литературы. Объем диссертации составляет 112 страниц, включая 39 рисунков, 5 таблиц и список литературы из 118 наименований.

СОДЕРЖАНИЕ РАБОТЫ

Во введении обосновывается актуальность выбранной темы диссертации, характеризуется степень ее разработанности, определяются цели и задачи, осуществляется выбор предмета и объекта исследования. Определяется научная новизна и формулируются положения, выносимые на защиту.

В первой главе дано общее введение в искусственные нейронные сети. Отмечены основные достижения и проблемы теории и практики искусственных нейронных сетей (ИНС). Изложено общее описание известных видов нейронных сетей (НС): многослойный персептрон, радиально-базисная функциональная НС, нелинейная авторегрессионная НС и нечеткая НС.

Проанализированы процессы обучения нейронных сетей: с учителем и без учителя. При выборе алгоритмов обучения необходимо обратить внимание на следующие факторы: размер, качество и характер данных, доступное вычислительное время, сроки решения, интерпретация и т.д.

Выполнен анализ различных типов ФА ИНС: пороговая функция, функция сигмоида, гиперболический тангенс. Предложено применение в ИНС новых ФА, базирующихся на ФП нечетких чисел LR - типа. ФП LR-типа определяется следующим выражением:

$$\mu_{A}(x) = \begin{cases} f_{L}(x), & x \in [A, B); \\ 1, & x = B; \\ f_{R}(x), & x \in (B, C]; \\ 0, & x \notin [A, C]. \end{cases}$$

$$(1)$$

В случае когда $f_L(x), f_R(x)$ в (1) являются полиномами второго порядка и $f_L'(x) = 0$, $f_R'(x) = 0$ в характеристических точках нечеткой величины, форму $\Phi\Pi$, определяемой выражением (1), можно изменять, налагая на функции $f_L(x)$ и $f_R(x)$ одно из четырех дополнительных условий:

$$\begin{cases} f_{L}'(A) = 0; \\ f_{R}'(B) = 0. \end{cases} (2) \qquad \begin{cases} f_{L}'(B) = 0; \\ f_{R}'(B) = 0. \end{cases} (3)$$

$$\begin{cases} f_{L}'(A) = 0; \\ f_{R}'(C) = 0. \end{cases} (4) \qquad \begin{cases} f_{L}'(B) = 0; \\ f_{R}'(C) = 0. \end{cases} (5)$$

Нечеткие нейронные сети (ННС) с новыми ФА, представленными на рисунке 1, предложено именовать ННС 2-го типа. Изложенное является обоснованием для решения следующих типовых задач обнаружения закономерностей в наборах данных:

- 1) прогнозирование временных рядов со стохастическим трендом;
- 2) определение параметров детерминированного сигнала на фоне белого шума;
 - 3) классификация интенсивности марковского случайного потока событий;
 - 4) классификация объектов и их состояний.

Внешний вид $\Phi\Pi$ треугольных нечетких чисел с учетом условий (2) – (5) представлен на рисунке 1.

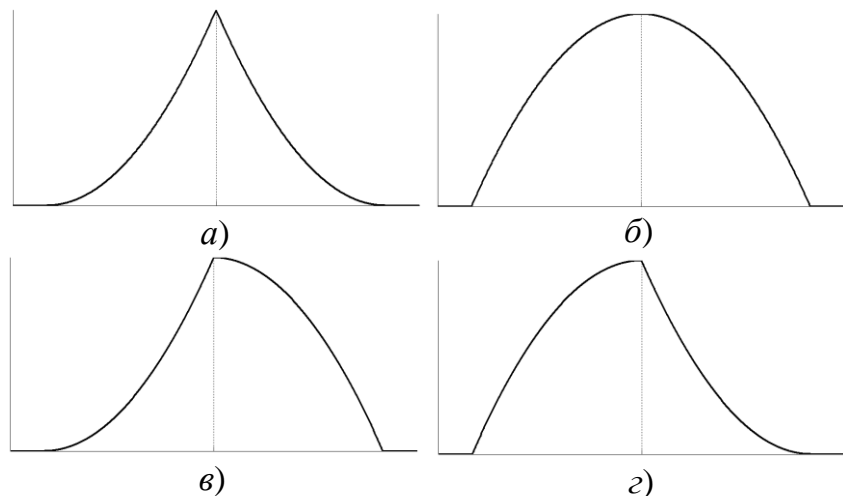


Рисунок 1. Формы $\Phi\Pi$ с учетом дополнительных условий: *a*) условия (2); δ) условия (3); ϵ 0 условия (4); ϵ 2) условия (5).

Во второй главе диссертации представлено использование новых ΦA в многослойной однонаправленной нейронной сети (МОНС) для прогноза и определения параметров сигналов. В параграфе 2.1 разработана структура МОНС с использованием метода скользящего окна для прогноза временных рядов с ΦA вида a, δ , θ , ε (здесь и далее внешний вид ΦA соответствует рисунку 1). На рисунке 2 представлен метод скользящего окна в МОНС.

Математическая модель сети может быть выражена как

$$\hat{X}_{t} = w_{0} + \sum_{j=1}^{Q} w_{j}.f\left(w_{0j} + \sum_{i=1}^{P} w_{i,j}.X_{t-i}\right),\tag{6}$$

где P и Q - количество входных и скрытых нейронов соответственно, w_j , j=0,1,...,Q - элементы весовых векторов ${\bf w}$ от скрытого слоя до выхода, $w_{i,j}$, i=1,2,...,P & j=1,2,...,Q - элементы весовых векторов ${\bf w}$ от входа к скрытым нейронам.

Для процесса обучения данные распределяются случайным образом с использованием 70% для обучения и 30% для тестирования. Алгоритм Левенберга - Марквардта

обратного распространения (ЛМОР) используется для обучения.

Представлено три набора данных (три временных ряда): набор данных 1 — ежемесячный австралийский импорт из Японии от июля 65-го года до октября 93-го года, набор данных 2 — обменный курс австралийского доллара (доллар Австралии за 1 доллар США) от июля 69-го года до августа 95-го года и набор данных 3 — экспорт квартальных австралийских национальных счетов от сентября 1959—го года до июня 1995-го года.

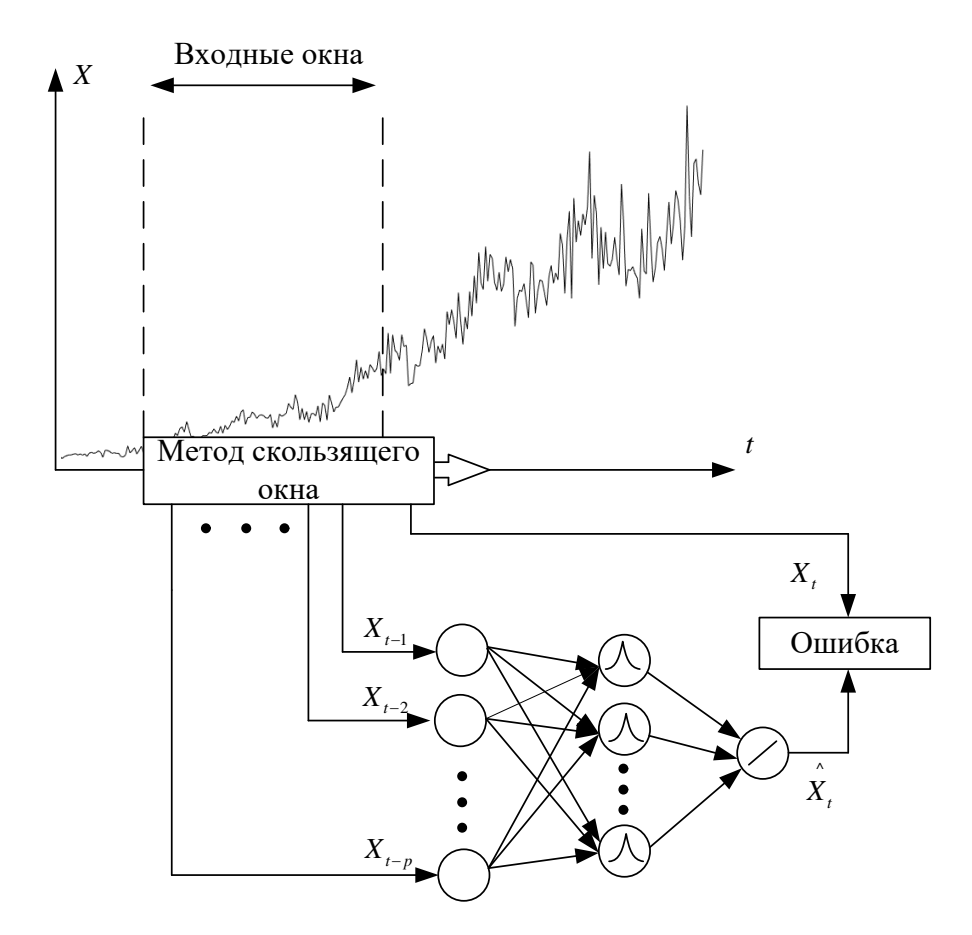


Рисунок 2. Метод скользящего окна в МОНС

В таблице 1 приведены среднеквадратичные ошибки (СКО) для определения лучшей модели НС для прогнозирования временных рядов.

Таблина 1. СКО кажлого эксперимента

тиолици т. Сто киждого эксперименти								
Тип НС	НС-сигм	HC-a	НС-б	НС-в	НС-г			
Данные								
Набор дан- ных 1	23×10 ⁻⁴	25×10^{-4}	25×10^{-4}	23×10^{-4}	24×10^{-4}			
Набор дан- ных 2	18×10 ⁻⁴	17×10^{-4}	16×10^{-4}	16×10^{-4}	21×10 ⁻⁴			
Набор дан- ных 3	$2,74 \times 10^{-4}$	$7,01\times10^{-4}$	$2,33\times10^{-4}$	$2,89 \times 10^{-4}$	$4,38 \times 10^{-4}$			

Из результатов тестирования следует, что разрабатываемые нами модели нечетких нейронов и HHC второго типа вполне успешно решают задачу прогнозирования временных рядов. СКО для прогнозируемых данных в МОНС с ФА вида a, δ , ϵ , ϵ (в таблице 1 HC-a, HC- δ , HC- ϵ , HC- ϵ соответственно) не значительно отличаются от СКО для прогнозируемых данных в обычной МОНС (HC- ϵ). Эксперименты показывают, что модель HC с ФА вида δ наиболее эффективна.

В параграфе 2.2 мы разрабатываем и исследуем HC с использованием Φ A вида a, δ , ϵ , ϵ для определения основных параметров детерминированного сигнала на фоне белого шума.

В качестве модели используем аддитивную смесь сигнала y и белого шума ε . В качестве сигнала используем сигнал в виде синусоиды:

$$y = x \times \sin(2\pi f t), \tag{7}$$

где x— амплитуда основного сигнала, f— основная частота сигнала. В качестве белого шума ε используем $N(0,\sigma^2)$, т.е. белый шум, является нормально распределенными случайными величинами с нулевым математическим ожиданием и дисперсией σ^2 .

В экспериментах выбираем амплитуды из интервала [1; 1,5]; дискретное время t – это 500 эквидистантных значений от 0 до 0,5 (c); задаем f = 60 Γ ц. Затем добавляем аддитивный гауссовский белый шум (отношение сигнал /шум = 0,05 дБ). Таким образом, на вход НС поступает временной ряд, представляющий собой упорядоченную последовательность значений, характер которой меняется во времени t. Задачей НС является прогноз значения x – амплитуды сигнала на входе НС.

Для тестирования НС со второй моделью данных, выбираем 5 значений амплитуды в интервале от 1,1 до 1,5 и для каждого значения амплитуды создаем 20 зашумленных сигналов. Также как и с первой моделью данных проводится 5 экспериментов, в которых используется так же обычная НС с сигмоидной ФА для определения значения амплитуды.

В таблице 2 приведены СКО по выбору лучшей модели НС для определения амплитуды сигнала на фоне белого шума.

Амплитуда сигнала Тип НС 1,1 1,2 1,3 1,4 1,5 HC-a 230×10^{-4} 53×10^{-4} 43×10^{-4} 230×10^{-4} 157×10^{-1} НС-б 82×10^{-4} 129×10^{-4} 28×10^{-4} 41×10^{-4} 339×10 $1,93 \times 10^{-4}$ НС-в 88×10^{-4} 16×10^{-4} $4,96 \times 10^{-4}$ $4,23 \times 10^{\circ}$ НС-г 100×10^{-4} 164×10^{-4} 25×10^{-4} $2,10\times10^{-4}$ 217×10^{-4} НС-сигм 34×10^{-4} 278×10^{-4} 74×10^{-4} 63×10^{-4} $315 \times 10^{-}$

Таблица 2. СКО для результатов экспериментов со второй моделью данных

Из результатов тестирования следует, что разрабатываемые нами модели нечетких нейронов и ННС второго типа вполне успешно решают задачу определения ам-

плитуды детерминированного сигнала на фоне белого шума. СКО в НС с ФА вида a, δ , e, c (в таблице 2 НС-a, НС-e, НС-e, НС-e соответственно) в большинстве экспериментов показывают лучшее качество определения. Эксперименты показывают, что модель НС с ФА вида e наиболее эффективна. Модели нейронной сети с ФА вида e, e также показывают хорошие результаты, но они незначительно отличаются от НС-eиeм.

В третье главе решается задача исследования возможности применения НС, структура которой может быть представлена в виде МОНС (рисунок 3) с использованием ФА вида a, δ , ϵ , которые представлены на рисунке 4, для классификации и кластеризации интенсивности λ_i потоков событий.

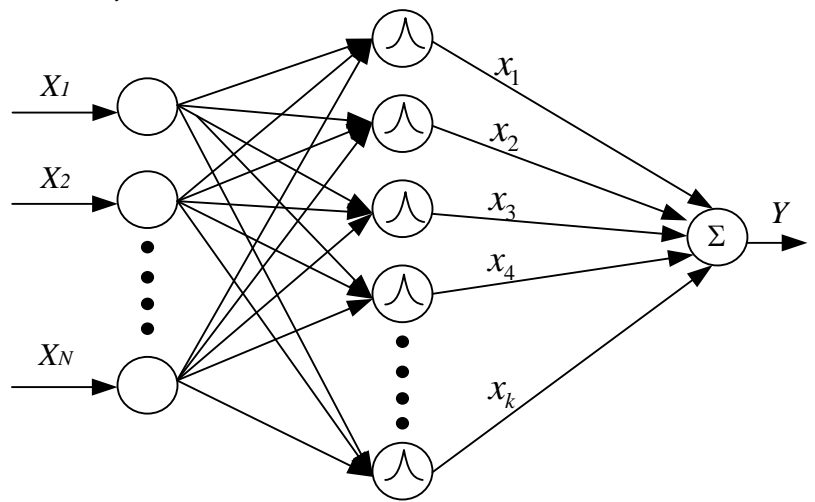


Рисунок 3. Структура сети

Пусть $\lambda(t)$ — кусочно-постоянный случайный процесс с двумя состояниями $\lambda(t) = \lambda_1$ либо $\lambda(t) = \lambda_2$ ($\lambda_1 < \lambda_2$). Случайный процесс $\lambda(t)$ принципиально не наблюдаем. Время пребывания процесса $\lambda(t)$ в i-м состоянии является случайной величиной, распределенной по экспоненциальному закону с параметрами λ_i (i=1,2), т.е. рассматриваемый случайный процесс моделирует MAP-поток (Markovian Arrival Process) событий с экспоненциальной функций распределения $F_i(t) = 1 - e^{-\lambda_i t}$, i=1;2.

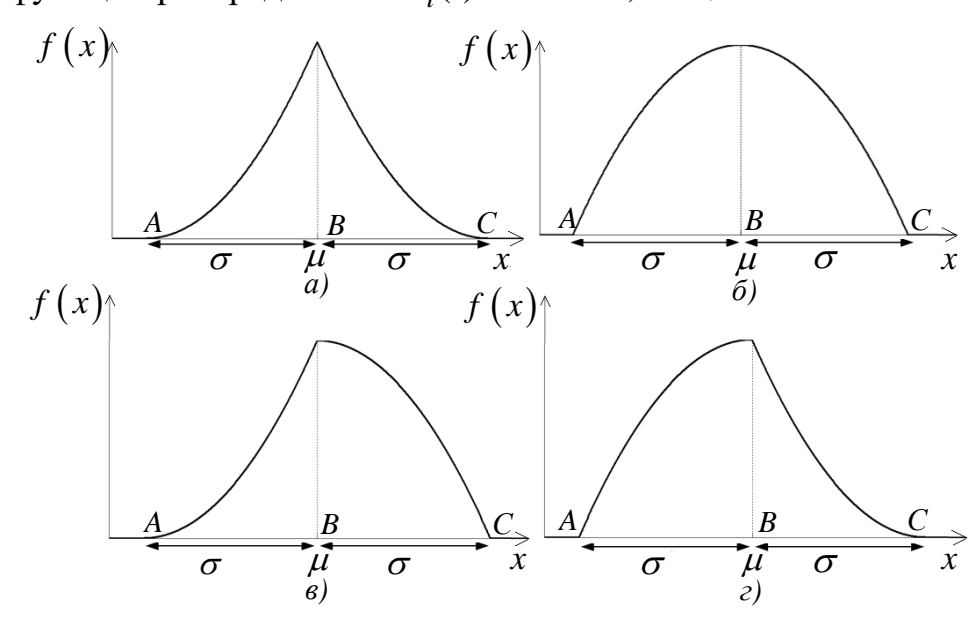


Рисунок 4 – ФА второго типа.

Наборы точек $\langle A, B, C \rangle$ на рисунке 4 являются характеристическими точками ΦA .

Зададим $AB = BC = \sigma$; и $B = \mu$. Пусть $a = (\mu - \sigma)$ если $\mu - \sigma \le x \le \mu$ и $a = (\mu + \sigma)$ если $\mu \le x \le (\mu + \sigma)$ получим общее описание (обобщенная) ФА вида a:

$$f(x) = \frac{1}{\sigma^2} x^2 + \frac{-2a}{\sigma^2} x + \frac{a^2}{\sigma^2}.$$
 (8)

Аналогично, для Φ А вида δ , общее описание (обобщенная) Φ А вида δ определяются следующим образом:

$$f(x) = \frac{-1}{\sigma^2} x^2 + \frac{2\mu}{\sigma^2} x + \frac{a^2 - 2\mu a}{\sigma^2},\tag{9}$$

где $a = (\mu - \sigma)$ если $\mu - \sigma \le x \le \mu$ и $a = (\mu + \sigma)$ если $\mu \le x \le (\mu + \sigma)$.

Для ΦA вида ϵ :

$$f(x) = k_1 \left(\frac{1}{\sigma^2} x^2 + \frac{-2a}{\sigma^2} x + \frac{a^2}{\sigma^2} \right) + k_2 \left(\frac{-1}{\sigma^2} x^2 + \frac{2\mu}{\sigma^2} x + \frac{a^2 - 2\mu a}{\sigma^2} \right), \tag{10}$$

где $a = (\mu - \sigma)$, $k_1 = 1$, $k_2 = 0$ если $\mu - \sigma \le x \le \mu$ и $a = (\mu + \sigma)$, $k_1 = 0$, $k_2 = 1$ если $\mu \le x \le (\mu + \sigma)$.

Для ФА вида г:

$$f(x) = k_1 \left(\frac{1}{\sigma^2} x^2 + \frac{-2a}{\sigma^2} x + \frac{a^2}{\sigma^2} \right) + k_2 \left(\frac{-1}{\sigma^2} x^2 + \frac{2\mu}{\sigma^2} x + \frac{a^2 - 2\mu a}{\sigma^2} \right), \tag{11}$$

где $a = (\mu + \sigma)$, $k_1 = 0$, $k_2 = 1$ если $\mu - \sigma \le x \le \mu$ и $a = (\mu - \sigma)$, $k_1 = 1$, $k_2 = 0$ если $\mu \le x \le (\mu + \sigma)$.

Выражение (8), (9), (10), (11) являются ΦA , которые используются в ядре нейрона скрытого слоя ННС на рисунке 3.

Процесс обучения ННС состоит в выборе трех наборов параметров: центр μ и ширина σ для каждого из нейронов ННС и матрицы выходных весов между нейронами ННС и выходными узлами. Как правило, центр и распределение функций активации нейронов ННС должны иметь характеристики, подобные данным. Для определения центров ФА нейронов ННС обычно используются неконтролируемые учебные процедуры по кластеризации. В данной работе, алгоритм кластеризации K-средних используются для определения центра и ширины ФА нейронов ННС. Каждый кластер соответствует ядру ФА. Расположение центров ядра функций активации определяется с помощью следующего уравнения:

$$\mu_i = \frac{1}{p} \sum_{j=1}^p X_j \,,$$

где μ_i является центром i-го нечеткого скрытого нейрона; p — количество данных в формируемом кластере; X_j — j-е данное в i-ом кластере.

Настройка ширины ядра является труднорешаемой задачей при построении ННС. Если ширина ядра слишком велика, то оценка плотности вероятности сглаживается. Наоборот, когда она слишком мала, может быть чрезмерная адаптация к определенному набору данных. Ширина ядра устанавливается на среднее расстояние между данными соответствующего кластера:

$$\sigma_i = \sqrt{\frac{1}{p} \sum_{j=1}^{p} (X_j - \mu_i)^2},$$
(12)

где σ_i является шириной i-го нечеткого скрытого нейрона; μ_i является центром i-го нечеткого скрытого нейрона; p — количество функциональных данных в данном кластере. X_j — j-е данное в i-ом кластере. Ширина ядра (12) гарантирует, что отдельные ΦA не слишком острые или/и не слишком плоские.

Веса ННС между скрытым слоем и выходным слоем рассчитываются с использованием метода псевдообращения. На рисунке 3 X представляют собой входные наборы данных о пространственных входных признаках. Выход y ННС в наблюдаемый момент времени j (j=1;2;...;N, N – количество наблюдаемых моментов времени) имеет следующий вид:

$$y_j = \sum_{i=1}^k w_i f(x_i), \ j = 1; 2; ...; N,$$
 (13)

где w_i – вес между выходным нейроном и i-м скрытым нейроном; f(x) – обобщенная $\Phi A; k$ – число нейронов скрытого слоя.

Уравнение (13) можно записать в виде

$$Y = \Phi w$$
.

где

$$\boldsymbol{\Phi}(\mu, \sigma, X) = \begin{bmatrix} \phi_1(\mu_1, \sigma_1, X_1) & \dots & \phi_K(\mu_K, \sigma_K, X_1) \\ \dots & \dots & \dots \\ \phi_1(\mu_1, \sigma_1, X_v) & \dots & \phi_K(\mu_K, \sigma_K, X_v) \\ \dots & \dots & \dots \\ \phi_1(\mu_1, \sigma_1, X_N) & \dots & \phi_K(\mu_K, \sigma_K, X_N) \end{bmatrix}, v = 1; 2; \dots; N.$$

 ϕ — функция активации. Матрица Φ (размерность $N \times K$) называется выходной матрицей скрытого слоя нейронной сети; i-я строка Φ является i-м скрытым выходным нейроном относительно входов $X_1, X_2, ..., X_N$.

Пусть **T** – матрица выходных данных обучения. Если $\Phi w = \mathbf{T}$, то выходные веса w вычисляются по формуле

$$w = (\mathbf{\Phi}^{\mathrm{T}}\mathbf{\Phi})^{-1}\mathbf{\Phi}^{\mathrm{T}}\mathbf{T},$$

где $({\bf \Phi}^{\rm T}{\bf \Phi})^{-1}{\bf \Phi}^{\rm T}$ является обобщенной псевдообратной выходной матрицей Мура-Пенроуза скрытого слоя.

В данной главе представлены результаты исследования по классификации параметров случайных потоков на основе четырех экспериментов:

- первый эксперимент: марковские случайные потоки событий имеет 2 интенсивности $\lambda_1 \in (0; 0, 5], \lambda_2 \in (0, 5; 1]$, параметры λ_1 , λ_2 не фиксированы и не известны;
- второй эксперимент: марковские случайные потоки событий имеет 2 интенсивности $\lambda_1 \in (0; 0,5], \ \lambda_2 \in (0,5;1],$ параметры $\lambda_1, \ \lambda_2$ фиксированы, но не известны;
- третий эксперимент: марковские случайные потоки событий имеет 2 интенсивности $\lambda_1 = 0.25$, $\lambda_2 = 0.75$, то есть параметры λ_1 , λ_2 фиксированы и известны;
- четвертый эксперимент: марковские случайные потоки событий имеет 10 разных интенсивностей λ_i (i = 1, 2,..., 10) ($\lambda_1 < \lambda_2 < ... < \lambda_{10}$).

Анализ результатов экспериментов показывает что, разрабатываемые нами модели ННС вполне успешно решают задачи классификации по интенсивности марковских случайных потоков событий. При этом на всех тестовых наборах ННС с Φ А вида δ обеспечивает лучший результат во всех экспериментах.

В четвертой главе разработана структура ННК, использующих импульсные нечеткие ФА нейронов ННС. Приведено описание функции и структуры слоев ННК. ННК представляет собой многослойную однонаправленную сеть, состоящую из следующих слоев: входной слой, слой нечетких ФА, слой фаззификации, слой дефаззификации, слой нормализации и выходной слой. На рисунке 5 изображен ННК с двумя классификационными признаками и тремя классами. Каждый вход определяется тремя лингвистическими переменными.

Слой нечетких Φ А: функция активации для каждого входа идентифицируется в этом слое. В данной главе используется четыре вида нечетких Φ А. Внешний вид этих Φ А представлен на рисунке 1 a, δ , ϵ , ϵ , a также на рисунке 4 a, δ , ϵ , ϵ .

Набор точек $\langle A,B,C\rangle$ (см. рисунок 4) являются характеристическими точками ФА. Задаем $AB=BC=\sigma$; и $B=\mu$. Пусть $a=(\mu-\sigma), k_1=0, k_2=1$ если $\mu-\sigma\leq x\leq \mu$ и $a=(\mu+\sigma), k_1=1, k_2=0$ если $\mu\leq x\leq (\mu+\sigma),$ тогда получим четыре ФА соответственно:

$$a) \begin{cases} f_{ij}(x_{sj}) = \frac{1}{\sigma_{ij}^2} x_{sj}^2 + \frac{-2a_{ij}}{\sigma_{ij}^2} x_{sj} + \frac{a_{ij}^2}{\sigma_{ij}^2}, \\ f_{ij}(x_{sj}) = 0, \text{ иначе}, \end{cases}$$

$$6) \begin{cases} f_{ij}(x_{sj}) = \frac{-1}{\sigma_{ij}^2} x_{sj}^2 + \frac{2\mu_{ij}}{\sigma_{ij}^2} x_{sj} + \frac{a_{ij}^2 - 2\mu_{ij}a_{ij}}{\sigma_{ij}^2}, \\ f_{ij}(x_{sj}) = 0, \text{ иначе}, \end{cases}$$

$$6) \begin{cases} f_{ij}(x_{sj}) = k_1 \left(\frac{1}{\sigma_{ij}^2} x_{sj}^2 + \frac{-2a_{ij}}{\sigma_{ij}^2} x_{sj} + \frac{a_{ij}^2}{\sigma_{ij}^2} \right) + k_2 \left(\frac{-1}{\sigma_{ij}^2} x_{sj}^2 + \frac{2\mu_{ij}}{\sigma_{ij}^2} x_{sj} + \frac{a_{ij}^2 - 2\mu_{ij}a_{ij}}{\sigma_{ij}^2} \right), \\ f_{ij}(x_{sj}) = 0, \text{ иначе}, \end{cases}$$

$$\mathcal{E}\left\{ \begin{aligned} f_{ij}(x_{sj}) &= k_1 \left(\frac{-1}{\sigma_{ij}^2} x_{sj}^2 + \frac{2\mu_{ij}}{\sigma_{ij}^2} x_{sj} + \frac{a_{ij}^2 - 2\mu_{ij} a_{ij}}{\sigma_{ij}^2} \right) + k_2 \left(\frac{1}{\sigma_{ij}^2} x_{sj}^2 + \frac{-2a_{ij}}{\sigma_{ij}^2} x_{sj} + \frac{a_{ij}^2}{\sigma_{ij}^2} \right), \\ f_{ij}\left(x_{sj}\right) &= 0, \text{ иначе}. \end{aligned} \right.$$

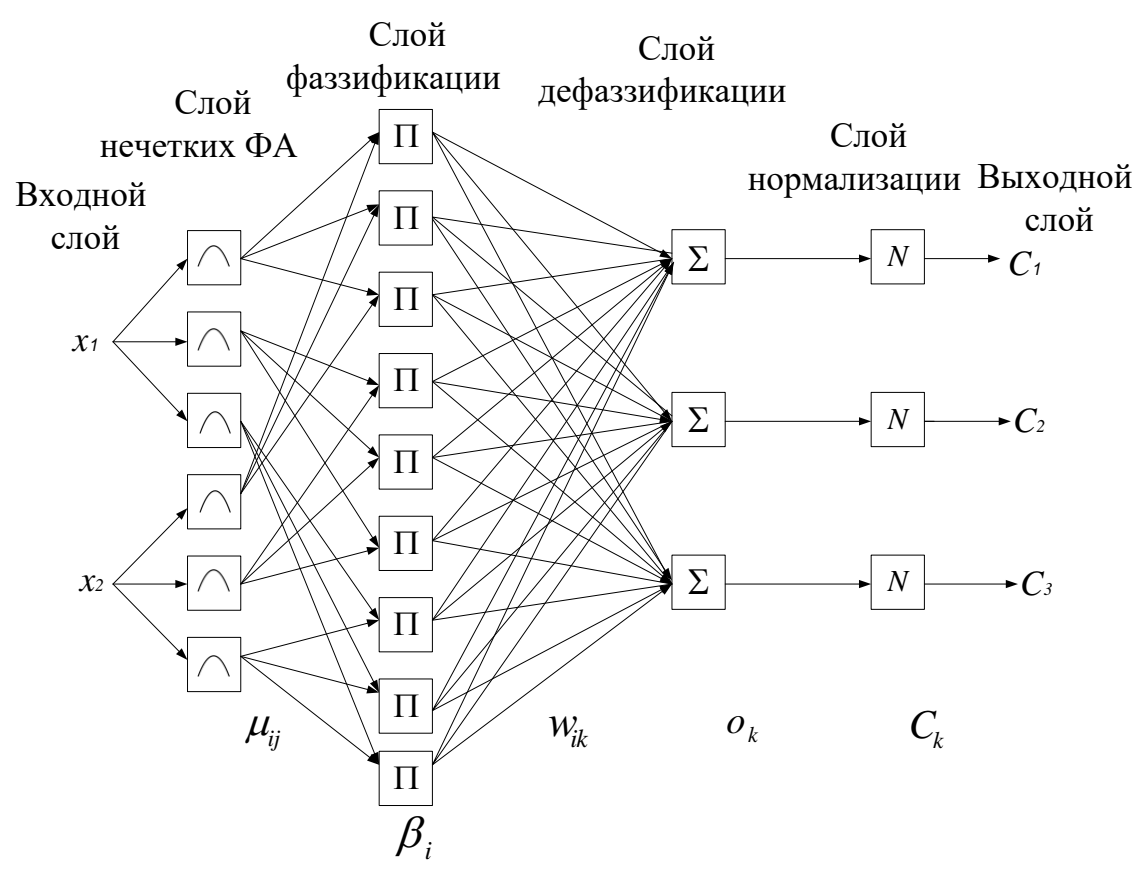


Рисунок 5. Структура нейро-нечеткого классификатора

Слой фаззификации: каждый узел в этом слое генерирует сигнал, соответствующий степени выполнения нечеткого правила для выборки. Этот сигнал можно назвать степенью возбуждения (the firing strength) нечеткого правила в отношении объекта, подлежащего классификации. Степень возбуждения по этому правилу заключается в следующем:

$$\beta_{is} = \prod_{j=1}^{N} f_{ij}(x_{sj}), \tag{14}$$

где N - количество классификационных признаков.

Слой дефаззификации: в этом слое вычисляются веса выходов; каждое правило влияет на каждый класс в соответствии с их весами. Если правило управляет определенной областью класса, вес между этим выходом правила и конкретным классом будет больше, чем другие веса. В противном случае веса классов малы. Вес выхода для s-й выборки, относящейся к k-му классу, вычисляется следующим образом:

$$o_{sk} = \sum_{i=1}^{U} \beta_{is} w_{ik} , \qquad (15)$$

где w_{ik} обозначает степень принадлежности к k-му классу, который контролируется i-м правилом и U представляет собой количество правил; o_{sk} обозначает весовой выход для s-й выборки, принадлежащего k-му классу.

Слой нормализации: выходы сети должны быть нормализованы, так как суммирование весов может быть больше чем 1, в некоторых случаях

$$h_{sk} = \frac{o_{sk}}{\sum_{l=1}^{K} o_{sl}} = \frac{o_{sk}}{\delta_s}, \, \delta_s = \sum_{l=1}^{K} o_{sl},$$
 (16)

где h_{sk} представляет нормированное значение s-ого выборки, которая относится к k-му классу; и K - количество классов. После этого метка класса s-й выборки определяется максимальным значением как

$$C_s = \max\left\{h_{sk}\right\},\tag{17}$$

$$k=1,2,\dots K$$

где C_s обозначает метку класса для s-й выборки.

Антецедентные параметры сети $\theta = \{S_{M \times N}, C_{M \times N}, W_{M \times K}\}$ могут быть адаптированы любым методом оптимизации S и C – матриц, содержащих значения σ и μ , соответственно; W представляет весовую матрицу соединений от слоя фаззификации до слоя дефаззификации; M, N, K - количество правил, признаков и классов соответственно; метод кластеризации K - средних используются для получения исходных параметров матриц S и C. Метод кластеризации K - средних предназначен для разделения входного пространства признаков на несколько кластеров, в которых каждая точка данных принадлежит кластеру с ближайшим средним значением.

Метод масштабированного сопряженного градиента (МСГ) используется для адаптации параметров сети. МСГ - это алгоритм сопряженного градиента второго порядка, который минимизирует целевые функции нескольких переменных.

Параметр w_{ik} в формуле (15) также можно адаптировать с помощью метода МСГ. Однако при обучении w_{ik} может быть больше 1. В этих случаях значения весов могут быть потеряны для кластеров из этого же класса. По этой причине либо w_{ik} должен быть ограничен, либо w_{ik} определяется из отношения числа выборки k-го класса в i-й области нечеткого правила относительно общего числа выборок k-го класса:

где D_i - число выборок k-го класса, которые принадлежат к i-й нечеткой области правил и D_k - число всех выборок k-го класса.

Функция стоимости, используемая в методе МСГ, определяется методом наименьших квадратов по разности цели и вычисленного значения класса:

$$E = \frac{1}{N} \sum_{s=1}^{N} E_s , \qquad (19)$$

$$E_s = \frac{1}{2} \sum_{k=1}^{K} (t_{sk} - h_{sk})^2, \qquad (20)$$

где N — количество выборок, t_{sk} и h_{sk} являются целевыми и вычисленными значениями s-й выборки, принадлежащей k-му классу, соответственно. Если s-я выборка принадлежит k-му классу, то целевое значение t_{sk} устанавливается равным 1, а в противном случае - равным 0.

Частную производную от E, относящуюся к μ_{ii} , можно вычислить:

$$\frac{\partial E}{\partial \mu_{ij}} = \sum_{s=1}^{N} \frac{\partial E}{\partial E_s} \left(\sum_{k=1}^{K} \frac{\partial E_s}{\partial h_{sk}} \cdot \frac{\partial h_{sk}}{\partial o_{sk}} \cdot \frac{\partial o_{sk}}{\partial \beta_{is}} \cdot \frac{\partial \beta_{is}}{\partial f_{ijs}} \cdot \frac{\partial f_{ijs}}{\partial \mu_{ij}} \right). \tag{21}$$

Для функции активации вида δ :

$$\begin{cases}
f_{ij}(x_{sj}) = \frac{-1}{\sigma_{ij}^2} x_{sj}^2 + \frac{2\mu_{ij}}{\sigma_{ij}^2} x_{sj} + \frac{a_{ij}^2 - 2\mu_{ij} a_{ij}}{\sigma_{ij}^2}, \\
f_{ij}(x_{sj}) = 0, \text{ unawe,}
\end{cases} (22)$$

где $a = (\mu - \sigma)$ если $\mu - \sigma \le x \le \mu$ и $a = (\mu + \sigma)$ если $\mu \le x \le (\mu + \sigma)$; $f_{ij}(x_{sj})$ представляет собой степень принадлежности i-го правила и j-й признак; x_{sj} представляет собой s-й выборку и j-й признак входной матрицы.

Из (14) - (22) получим:

$$\frac{\partial E}{\partial \mu_{ij}} = \frac{1}{N} \sum_{s=1}^{N} \sum_{k=1}^{K} \left((h_{sk} - t_{sk}) \left(\frac{1 - h_{sk}}{\delta_s} \right) w_{ik} \beta_{is} \frac{2x_{sj} - 2\mu_{ij}}{-x_{sj}^2 + 2\mu_{ij} x_{sj} + {\sigma_{ij}}^2 - {\mu_{ij}}^2} \right).$$

Аналогично

$$\frac{\partial E}{\partial \sigma_{ij}} = \frac{1}{N} \sum_{s=1}^{N} \sum_{k=1}^{K} \left((h_{sk} - t_{sk}) \left(\frac{1 - h_{sk}}{\delta_s} \right) w_{ik} \beta_{is} \frac{2(x_{sj} - 2\mu_{ij})^2}{\sigma_{ij} (-x_{sj}^2 + 2\mu_{ij} x_{sj} + \sigma_{ij}^2 - \mu_{ij}^2)} \right).$$

Аналогично получаются частные производные от E, относящиеся к μ_{ij} для остальных ΦA .

Разработанный выше ННК с нашими ФА и алгоритмом МСГ исследован на зада-

че классификации набора данных ирисы Фишера для нахождения отображения между четырьмя входными переменными (длина наружной, ширина наружной, длина внутренней и ширина внутренней) и тремя классами (Setosa, Versicolor и Virginica). Другой эксперимент с ННК по классификации состояний объекта проведен на наборе данных шкалы баланса, который получен из UC Irvine Machine Learning Repository и был сгенерирован для моделирования результатов психологических экспериментов, проведенных Зиглером.

Результаты тестирования ННК представлены в таблице 3. Эффективность работы ННК при идентификации теста будем оценивать процентным отношением между количеством правильных результатов тестирования и общим количеством данных тестирования. СКО характеризует точность результатов экспериментов с ННК.

Таблица 3. Результаты классификации набора данных ННК с различными ФА

	Эффективность		СКО	
Тип ФА	ННК на т			
	Ирисы	Шкала	Ирис Фи-	Шкала
	Фишера	баланса	шера	баланса
Гауссоида	96	88,78	$2,297 \cdot 10^{-7}$	0,13
Вида а	96	87,82	$5,031\cdot 10^{-6}$	0,12
Вида б	97,33	89,10	$6,361\cdot 10^{-4}$	0,15
Вида в	97,33	77,88	0,0418	0.31
Вида г	96	60,25	0,041	0,61

Из таблицы 3 следует, что результаты классификации с использованием предлагаемых нами ΦA не превосходят результат классификации с использованием гауссовой ΦA (СКО ННК с гауссовой ΦA на тесте ирисы Φ ишера самая малая), однако использование ННК с ΦA вида a и b вполне приемлемо на разных тестах. Эффективность ННК с ΦA вида b и b на тесте ирисы ΦA вида A на тесте ирисы A н

Проведем сравнительный анализ результатов классификации ННК с предлагаемыми ФА и классификации с использованием радиальной базисной нейронной сети (РБНС). В таблице 4 представлены результаты эксперимента по классификации предлагаемым ННК и РБНС для выбранных тестов ирисы Фишера и шкалы баланса.

Таблица 4. Результаты классификации ННК и РБНС

Метод использования	Эффективность на тестах (%)		
	Ирисы Фишера	Шкала баланса	
ННК	96 – 97,33	60,25 - 89,10	
РБНС	65,33	54,91	

Из таблицы 4 следует, что предлагаемый ННК эффективнее РБНС в решаемой задаче классификации.

На рисунке 6 показана динамика СКО ННК на тесте ирисы Фишера в сравнении

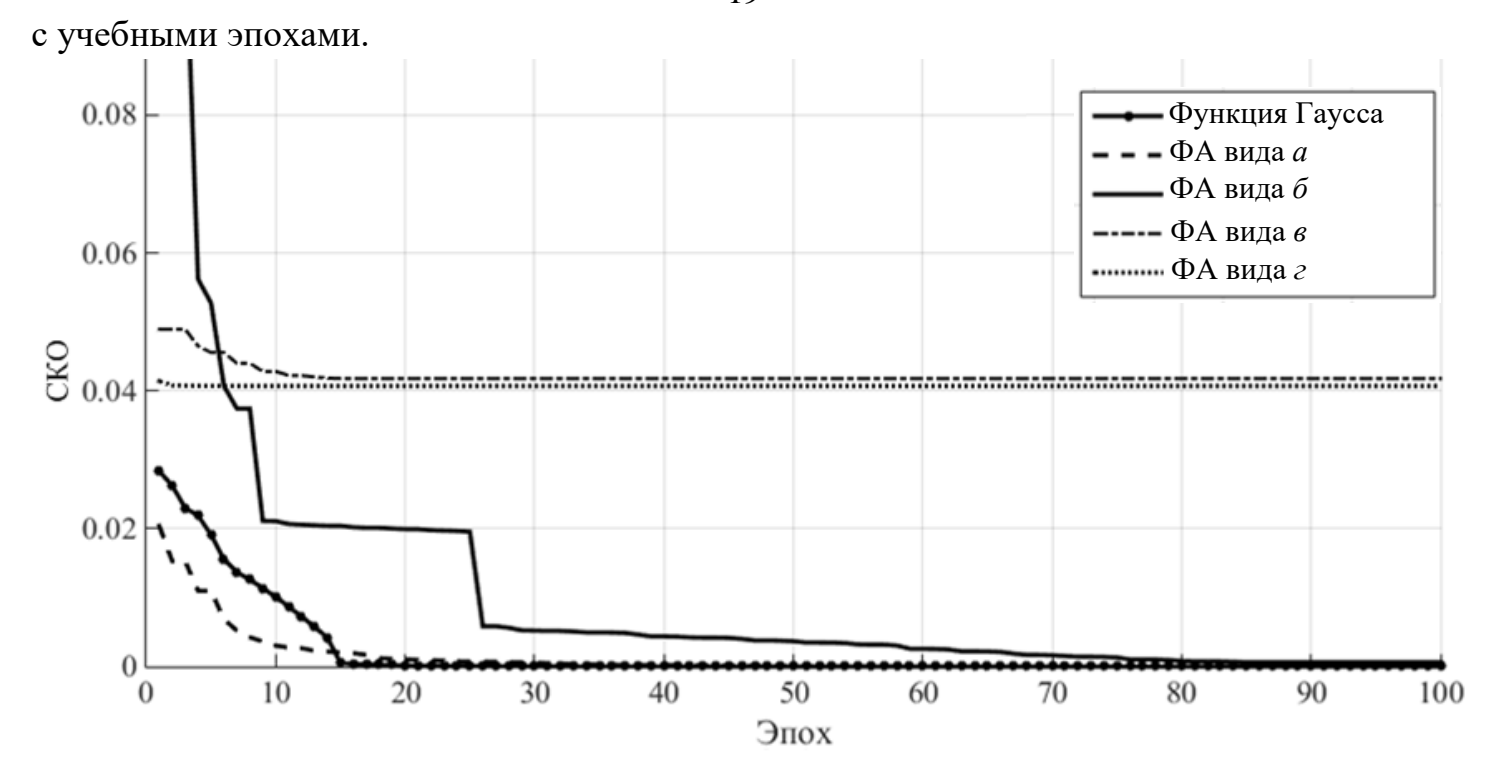


Рисунок 6. СКО ННК на тесте ирисы Фишера

Из рисунка 6 следует, что обучение ННК с ΦA θ и ε на основе алгоритма СМГ не эффективно. СКО (точность работы ННК с этими ΦA) почти не изменяются и слишком велики, поэтому для ННК этого типа необходим поиск других методов обучения. Относительно обучения ННК с ΦA α и δ на основе алгоритма СМГ следует сделать более оптимистичный вывод и утверждать, что ННК данных типов эффективно решают задачи классификации объектов и их состояний.

ОСНОВНЫЕ РЕЗУЛЬТАТЫ РАБОТЫ И ВЫВОДЫ

В диссертации решена актуальная научно-техническая задача алгоритмического обеспечения НС нового типа с полиномиальными кусочно-непрерывными ФА для обнаружения закономерностей в наборах данных. Основные научные и практические результаты состоят в следующем.

- 1. Проведён анализ процессов обучения НС для различных типов ФА НС. Предложено применение в НС новых ФА (ФА вида *а, б, в, г*), базирующихся на полиномиальных кусочно-непрерывных функциях принадлежности нечетких чисел LR типа. Новый тип НС с полиномиальными кусочно-непрерывными ФА предложено именовать нечеткими НС (ННС) второго типа. Создано алгоритмическое обеспечение НС обработки информации для обнаружения закономерностей в наборах данных:
 - прогнозирование временных рядов со стохастическим трендом;
 - определение параметров детерминированного сигнала на фоне белого шу-

ма;

- классификация интенсивности марковского случайного потока событий;
- классификация объектов и их состояний.
- 2. Разработана структура МОНС с использованием метода скользящего окна для прогноза временных рядов с ФА вида a, δ , ϵ , ϵ . Процесс обучения реализуется с помощью алгоритма Левенберга Марквардта обратного распространения. Реальные наборы данных используются для тестирования. Среднеквадратичная ошибка (СКО) используется для определения лучшей модели МОНС. Эксперименты показывают, что модель НС с ФА вида δ , ϵ наиболее эффективна.
- 3. Выполнена разработка структуры МОНС с ФА вида a, δ , ϵ , ϵ для определения амплитуды детерминированного сигнала на фоне белого шума. Алгоритм Левенберга Марквардта обратного распространения используется для обучения. Синусоидальные сигналы с добавлением к нему гауссовского белого шума с отношением сигнал/шум = 0.05 дБ используются в качестве наборов данных для тестирования. Лучшие результаты показали в МОНС с ФА вида a, δ , ϵ , ϵ (особенно МОНС с ФА вида ϵ) по сравнению с результатами в обычной МОНС.
- 4. Исследована возможность применения ННС нового типа для классификации интенсивности потоков событий (марковских случайных процессов). Создана структура ННС второго типа в виде МОНС с использованием ФА вида a, δ , ϵ , ϵ . Процесс обучения ННС второго типа состоит в выборе трех наборов параметров: центра μ и ширины σ для ФА вида a, δ , ϵ , ϵ нейронов ННС и матриц выходных весов между нейронами ННС и выходными узлами ННС. Результаты экспериментов доказывают что, разрабатываемые нами модели ННС, успешно решают задачи классификации интенсивности марковских случайных потоков событий. ННС с ФА вида δ обеспечивает лучший результат во всех экспериментах.
- 5. Выполнена разработка ННК. ННК представляет собой МОНС, состоящую из следующих слоев: входной слой, слой нечетких ФА, слой фаззификации, слой дефаззификации, слой нормализации и выходной слой. Антецедентные параметры сети определяются методом кластеризации К средних. Алгоритм масштабированного сопряженного градиента (МСГ) используется для обучения ННК. Для тестирования используются типовые наборы данных: ирисы Фишера и шкала баланса. Проведен сравнительный анализ разработанных ННК с известными ННК: ННК с гауссовой ФА и радиальная базисная нейронная сети (РБНС). Сравнительный анализ доказывает конкурентоспособность двух из четырех разработанных ННК по эффективности и точности классификации. ННС с ФА вида а и б показывают лучшие результаты по классификации объектов и их состояний.

СПИСОК ПУБЛИКАЦИЙ АВТОРА

Работы, опубликованные в журналах, рекомендованных ВАК России

1. Нгуен, А.Т. Компьютерное моделирование показателей нечеткой надежности / А.Т. Нгуен, А.А. Ефремов // Доклады ТУСУРа. — 2016. — Т. 19, № 1. — С. 57-62. DOI: 10.21293/1818-0442-2016-19-1-57-62.

- 2. Нгуен, А.Т. Модель нейронной сети с нечеткими функциями активации для прогнозирования временного ряда / А.Т. Нгуен, А.М. Кориков // Доклады ТУСУРа. -2016. -19. № 4. C. 49–51. DOI: 10.21293/1818-0442-2016-19-4-49-51.
- 3. Нгуен, А.Т. Нечеткая нейросетевая классификация интенсивности марковского случайного потока событий / А.М. Кориков, А.Т. Нгуен // Доклады ТУСУРа. -2017. T. 20, № 2. C. 79–83. DOI: 10.21293/1818-0442-2017-20-2-79-83.
- 4. Нгуен, А.Т. Нейро-нечеткая классификация объектов и их состояний / А.М. Кориков, А.Т. Нгуен // Научный вестник НГТУ. 2018. № 3 (72). С. 73—86. DOI: 10.17212/1814-1196-2018-3-73-86.
- 5. Нгуен, А.Т. Нейронные сети с полиномиальными кусочно-непрерывными функциями активации для поиска закономерностей в данных / А.Т. Нгуен, А.М. Кориков // Доклады ТУСУРа. 2019. Т. 22, № 1. С. 71-76. DOI: 10.21293/1818-0442-2019-22-1-71-76.

Работы, зарегистрированные в международной базе научного цитирования Scopus и WoS

- 6. Nguyen, A.Tu. Models of neural networks with fuzzy activation functions / A.Tu. Nguyen, A.M. Korikov // IOP Conference Series: Materials Science and Engineering. 2017. Vol. 177 [Электронный ресурс]. Режим доступа: http://iopscience.iop.org/article/10.1088/1757-899X/177/1/ 012031, свободный (дата обращения: 01.03.2017). DOI:10.1088/1757-899X/177/1/012031.
- 7. Nguyen, A.Tu. Application of Artificial Neural Networks to Predict Dynamic Responses of Wing Structures due to Atmospheric Turbulence / A.Tuan Nguyen, J.H. Han, A.Tu Nguyen // IJASS, Vol.18, No.3, pp. 474-484, September, 2017. DOI: 10.5139/IJASS.2017.18.3.474.
- 8. Nguyen, A. Tu. Fuzzy Neural Network Technology Support Decision-Making / A.Tu Nguyen, A.M. Korikov, A.Tuan Nguyen // Advances in Computer Science Research. 2017. Vol. 72: Information technologies in Science, Management, Social sphere and Medicine (ITSMSSM 2017). pp. 128-131. DOI: https://doi.org/10.2991/itsmssm-17.2017.27.

Публикации в других изданиях

- 9. Нгуен, А.Т. Методы описания блок-схем надежности систем / В.Т. Динь, А.Т. Нгуен // Сборник трудов XI Международной научно-практической конференции студентов, аспирантов и молодых учёных «Молодёжь и современные информационные технологии». 2013. Томск: Издательство ТПУ. С.56-58.
- 10. Нгуен, А.Т. Способ описания структуры резервирования технических систем / В.Т. Динь, А.Т. Нгуен // Сборник трудов XII Всероссийской научно-практической конференции студентов, аспирантов и молодых ученых «Технологии Microsoft в теории и практике программирования». 2015. Томск: Издательство ТПУ. С.81-85.
- 11. Нгуен, А.Т. Задачи обучения нечетких нейронных сетей / А.Т. Нгуен, А.М. Кориков // Сборник материалов международной научно-практической конференции «Электронные средства и системы управления». Томск: В-Спектр, 2017. С. 65- 68.

12. Нгуен, А.Т. Нечеткая нейросетевая кластеризация интенсивности МС - потоков событий / А.Т. Нгуен, А.М. Кориков, А.Туан Нгуен // Сборник материалов международной научно-практической конференции студентов, аспирантов и молодых ученых «Молодежь и современные информационные технологии». — 11.2017. — С. 53-54.